



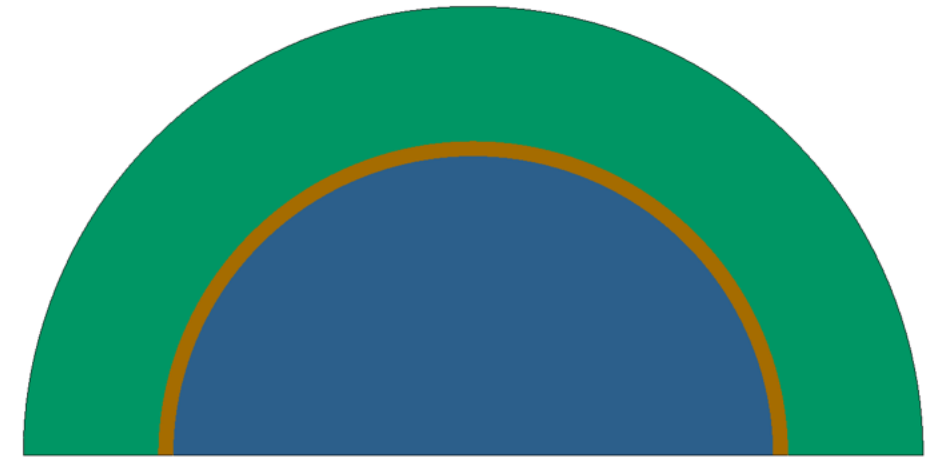
РФЯЦ-ВНИИТФ  
РОСАТОМ

# Некоторые параллельные методы перестройки двумерных сеток

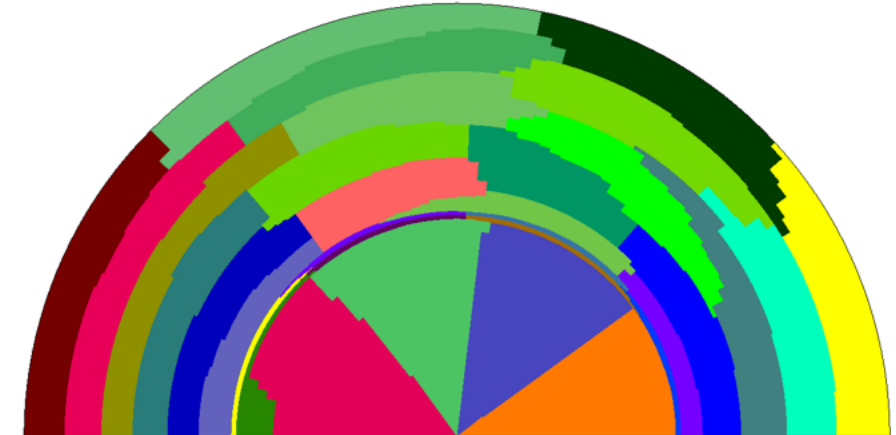
Анисов Вадим Олегович, Вазиев Э. М.

# Постановка задачи

- Проводится решение уравнений газовой динамики и теплопроводности в лагранжево-эйлеровом подходе с применением неявных конечно-объемных схем
- Расчетная сетка задается набором сеточных областей, каждая со своим типом сетки (нерегулярная, регулярные, каскадные). Обеспечена стыковка сеток узел-в-узел
- Используется топологическая декомпозиция расчетной сетки на парообласти с помощью библиотек scotch [1], metis [2] для организации параллельного счета на распределенной памяти средствами MPI



сеточные области



парообласти

[1] Ресурс проекта scotch: <https://www.labri.fr/perso/pelegrin/scotch>

[2] Ресурс проекта metis: <https://github.com/KarypisLab/METIS>

## Постановка задачи (2)



- При моделировании в лагранжевом подходе расчетная сетка может со временем стать непригодной для дальнейшего счета из-за образования невыпуклых, самопересекающихся, вывернутых ячеек
- Для решения данной проблемы вводится эйлеров этап – перестройка сетки и пересчет величин. Данный этап призван автоматически поддерживать расчетную сетку в пригодном состоянии для счета
- Для пересчета величин используется метод наложения сеток первого порядка точности с восстановлением границ раздела смешанных веществ VOF-методом [1]

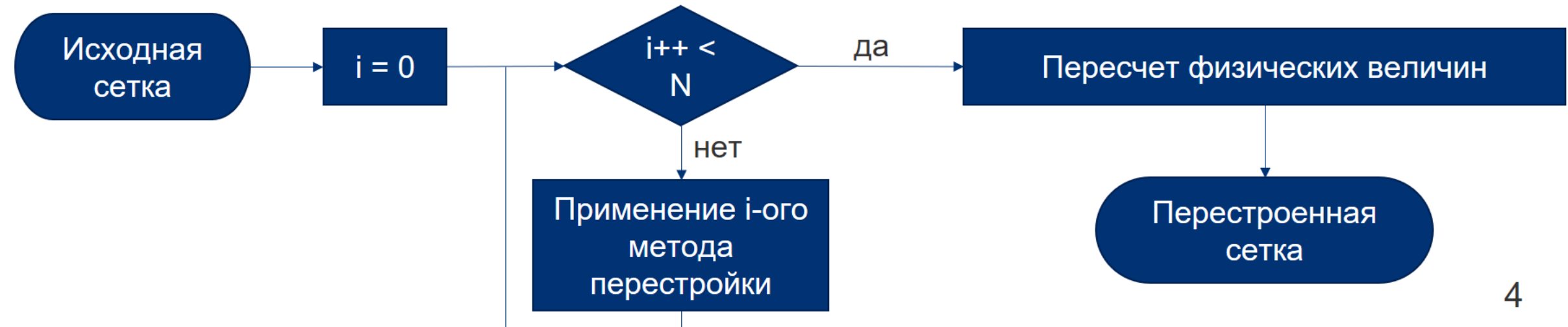
### Цель работы:

- Реализовать параллельную перестройку расчетной сетки

[1] Э.М. Вазиев, А.Д. Гаджиев, С.Ю. Кузьмин, Ю.Г. Панюков. «Неявный лагранжево-эйлеровский TVD-метод решения двумерных уравнений газовой динамики на нерегулярных сетках». Журнал «Математическое моделирование», 2018, том 30, №3, стр. 118-134

# Схема перестройки

- Используется 3 типа сеток в сеточных областях:
  - регулярная (сохраняет симметричность решения, имеют чрезмерную подробность);
  - каскадная (сохраняет симметричность решения, позволяют контролировать подробность);
  - нерегулярная (используется для сеточных областей сложной формы).
- Необходимо перестраивать рассмотренные типы сеток, для этого реализовано несколько методов перестроек сеточных областей:
  - метод перестройки сеточных областей с регулярными, каскадными сетками;
  - метод перестройки сеточных областей с нерегулярными сетками;
  - вспомогательный метод перестройки всей сетки.

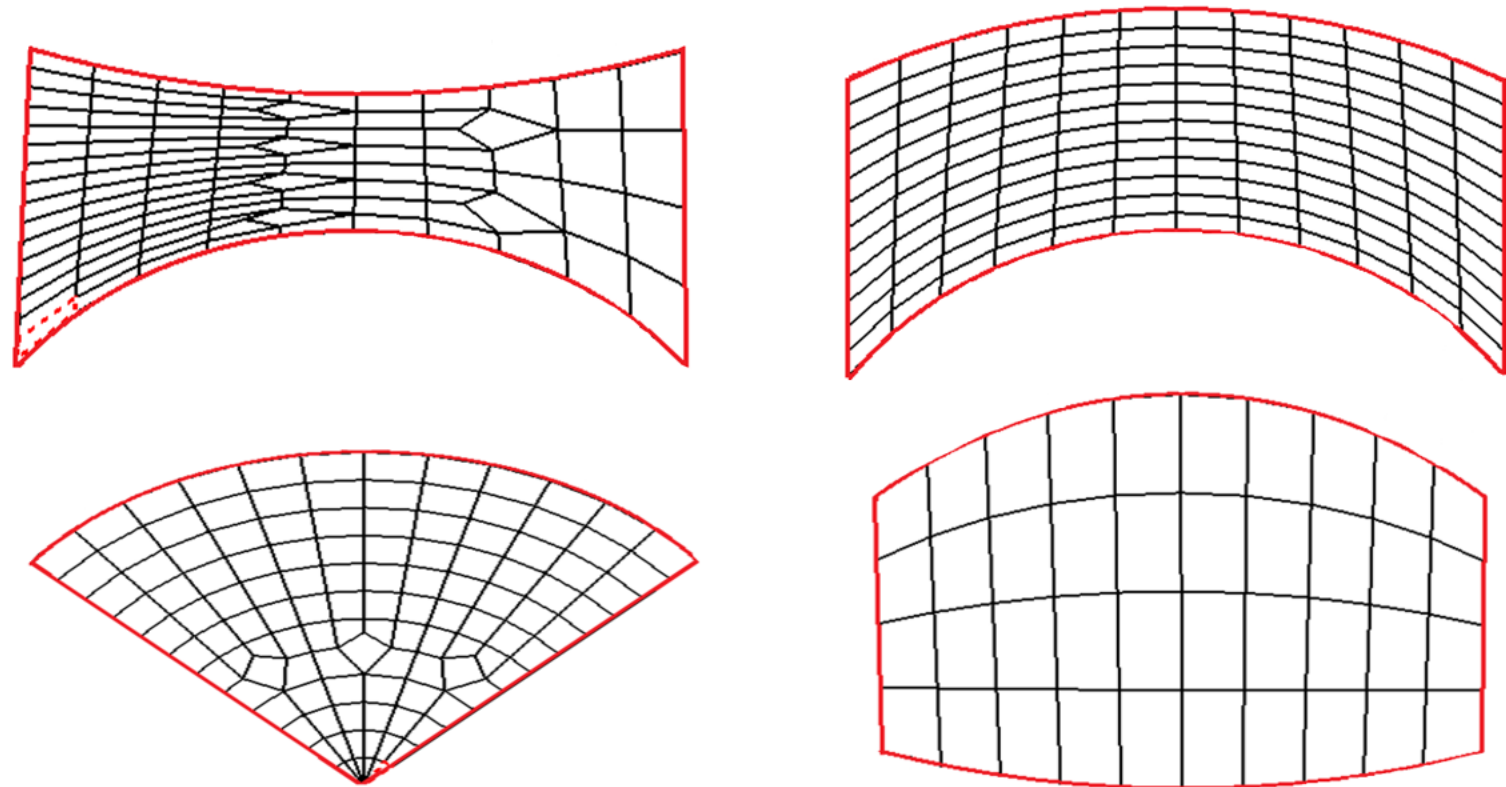


# Перестройка регулярных, каскадных сеток: требования



## Требования:

- Высокая скорость работы
- Параллельная реализация
- Симметричность
- Локальность



каскадные сетки [1]

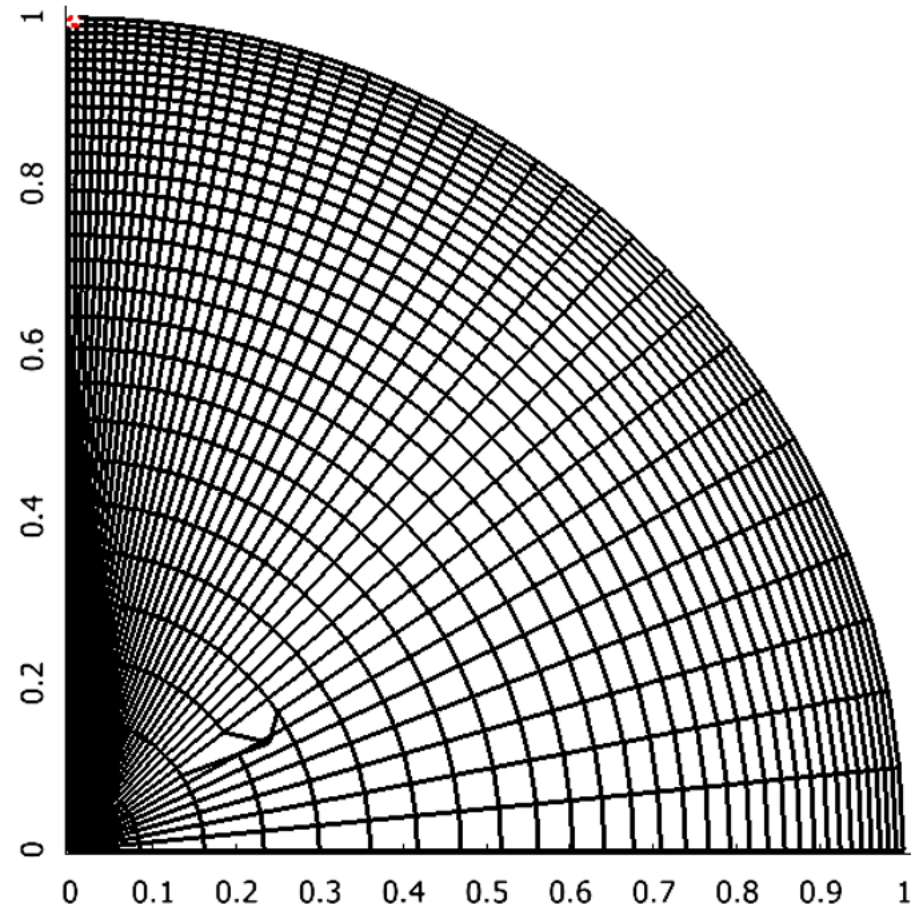
регулярные сетки

[1] И. В. Глазырин, Н. А. Михайлов. Конечно-объемная схема для многокомпонентных сжимаемых течений на неструктурированной сетке в трехмерной программе ФОКУС. Журнал вычислительной математики и математической физики, 2021, том 61, № 6, с. 1019 – 1033.

# Перестройка регулярных, каскадных сеток: алгоритм

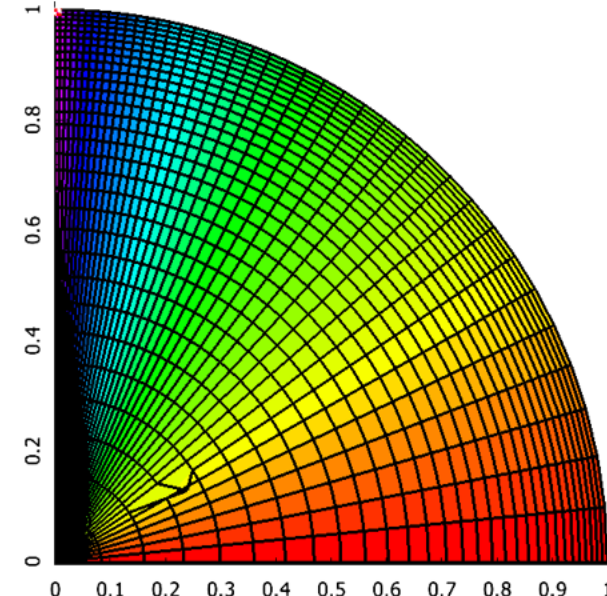
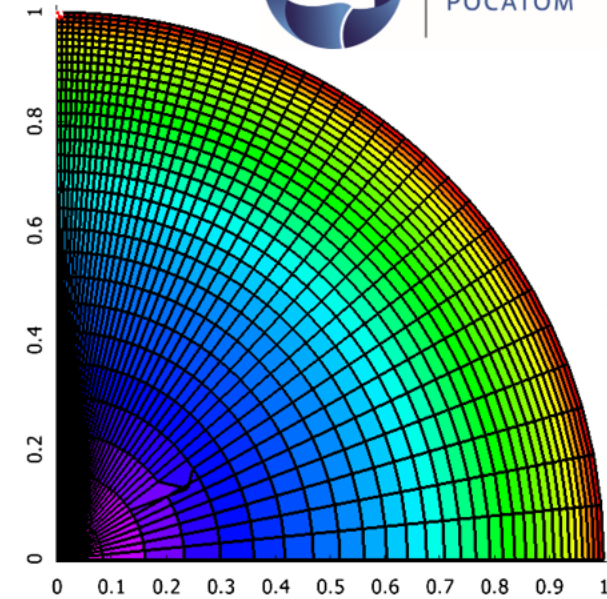


РФНЦ-ВНИИТФ  
РОСАТОМ



## 1. Построение матричной нумерации

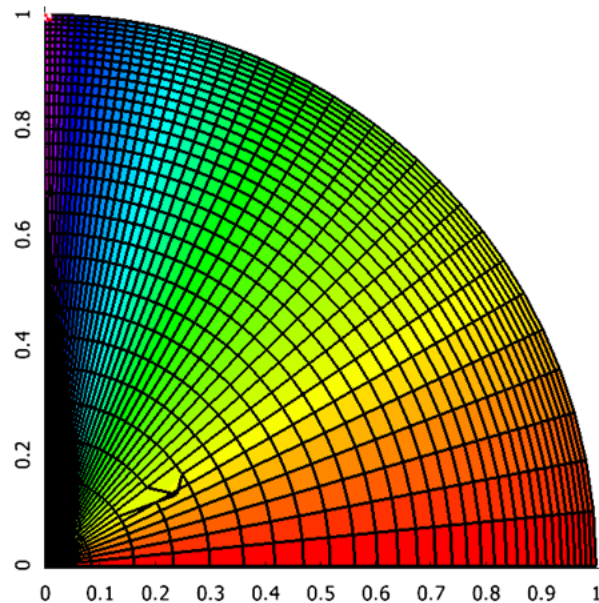
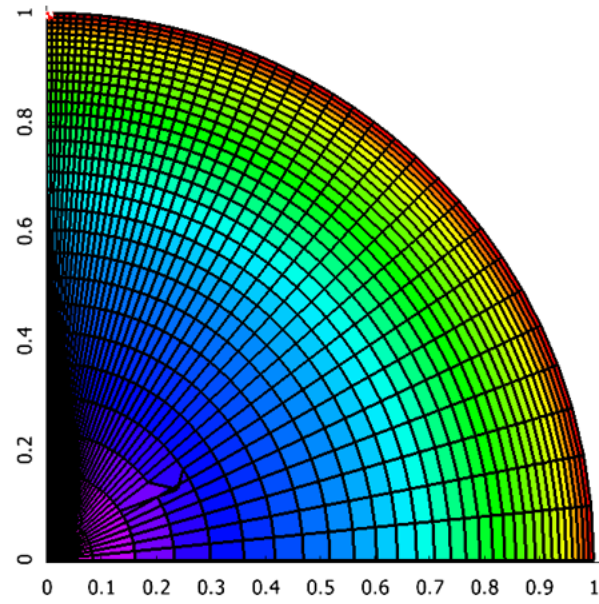
- Определяются стороны четырехугольника
- Используется параллельный волновой алгоритм от сторон



# Перестройка регулярных, каскадных сеток: алгоритм



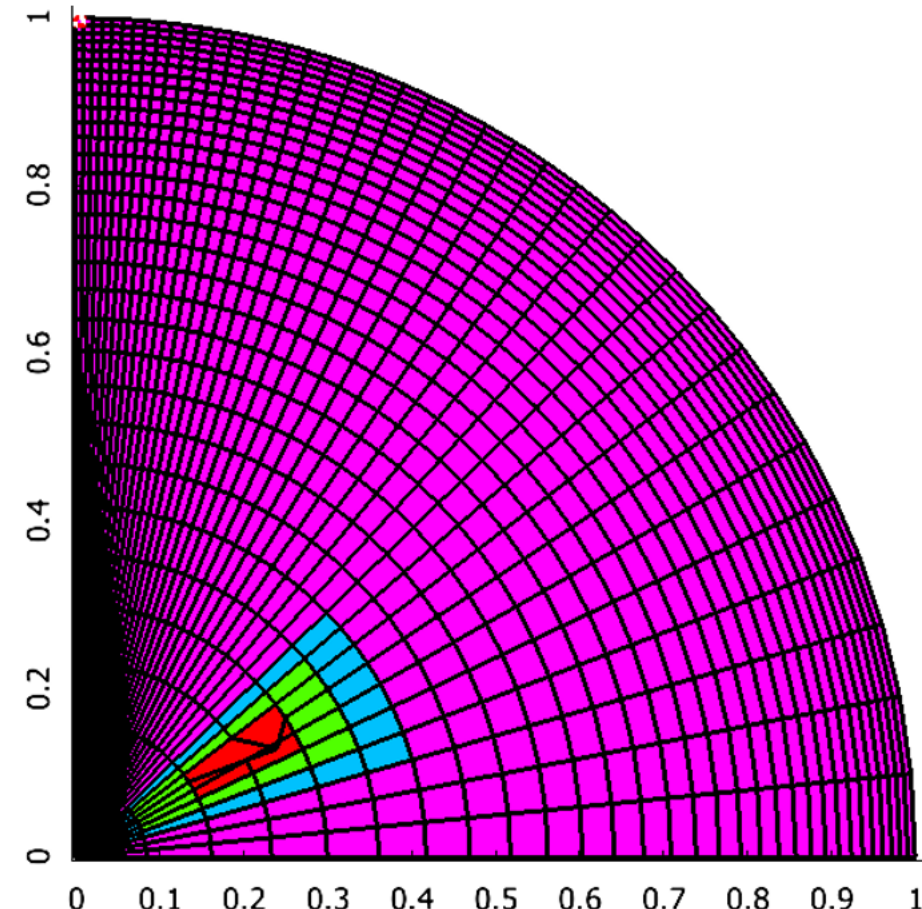
РФНЦ-ВНИИТФ  
РОСАТОМ

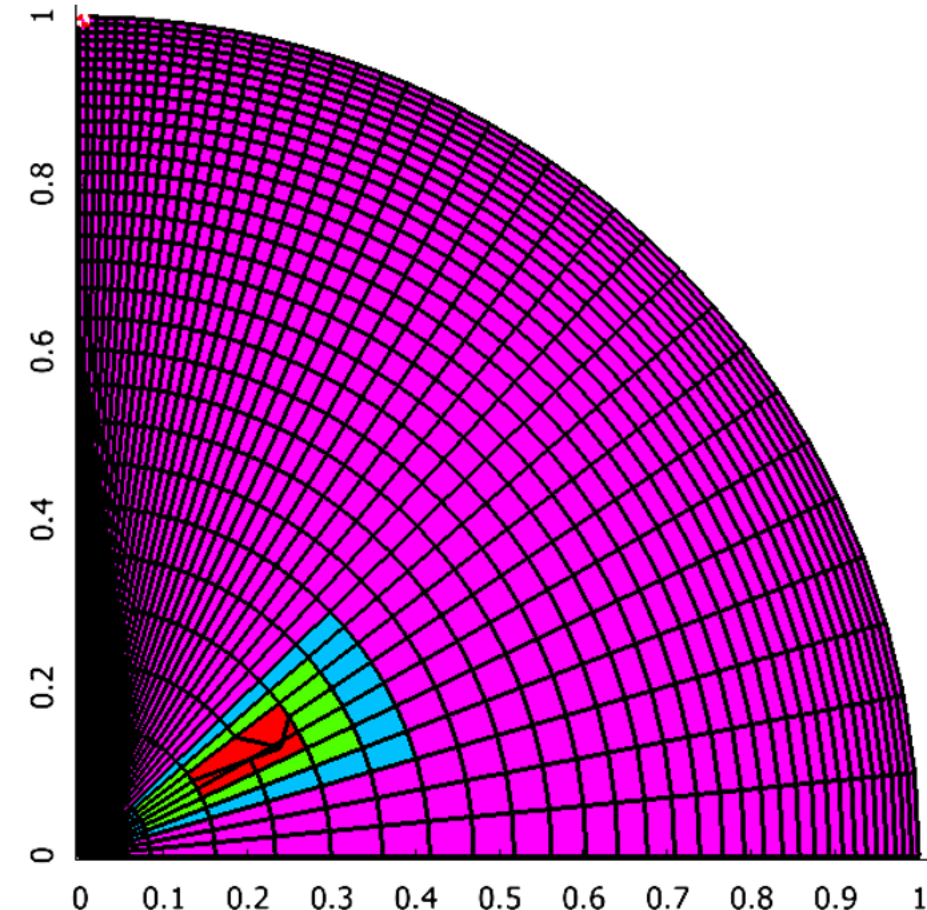


## 2. Поиск «плохих» ячеек

Относительно:

- длин ребер
- углов между ребрами
- соотношение длин смежных ребер



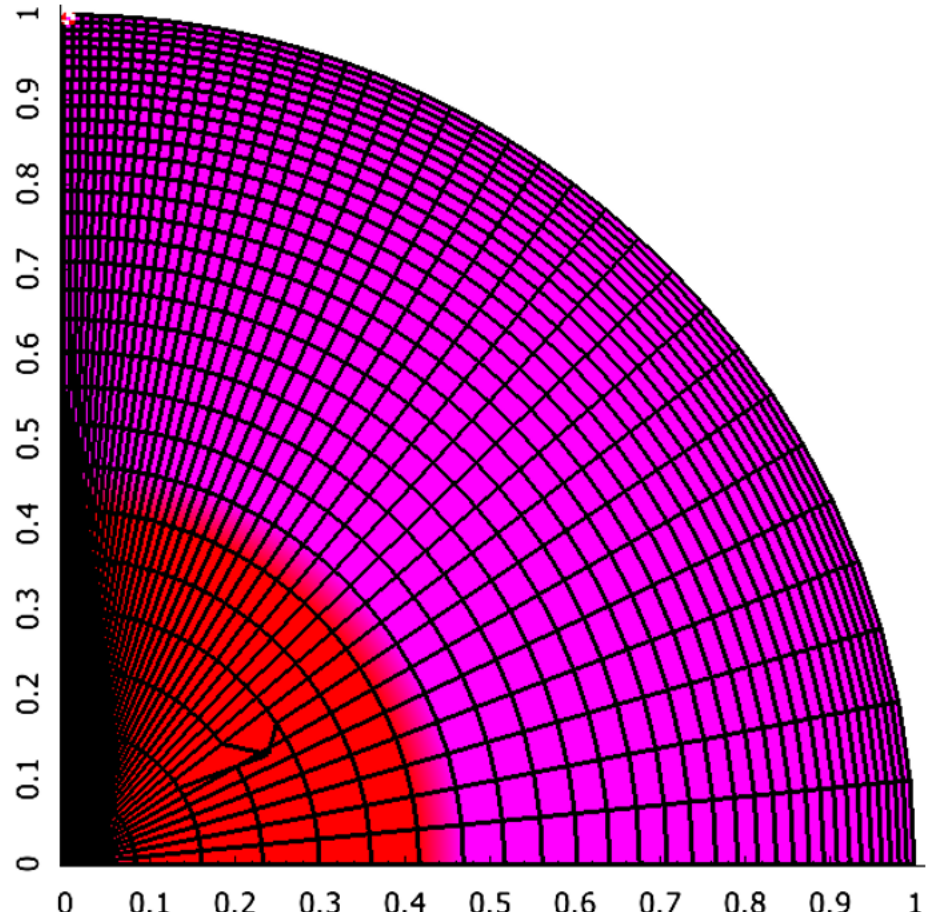


Ц.1.  
симметризация  
области

Расширение,  
«плохой»  
области

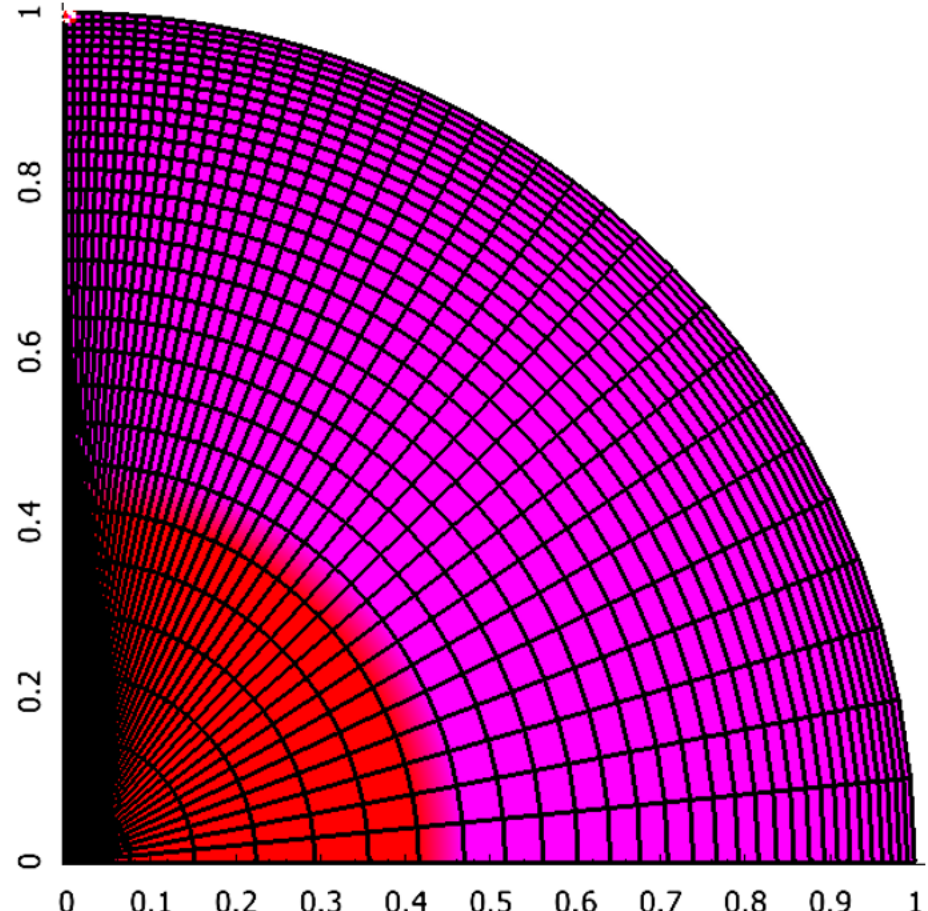
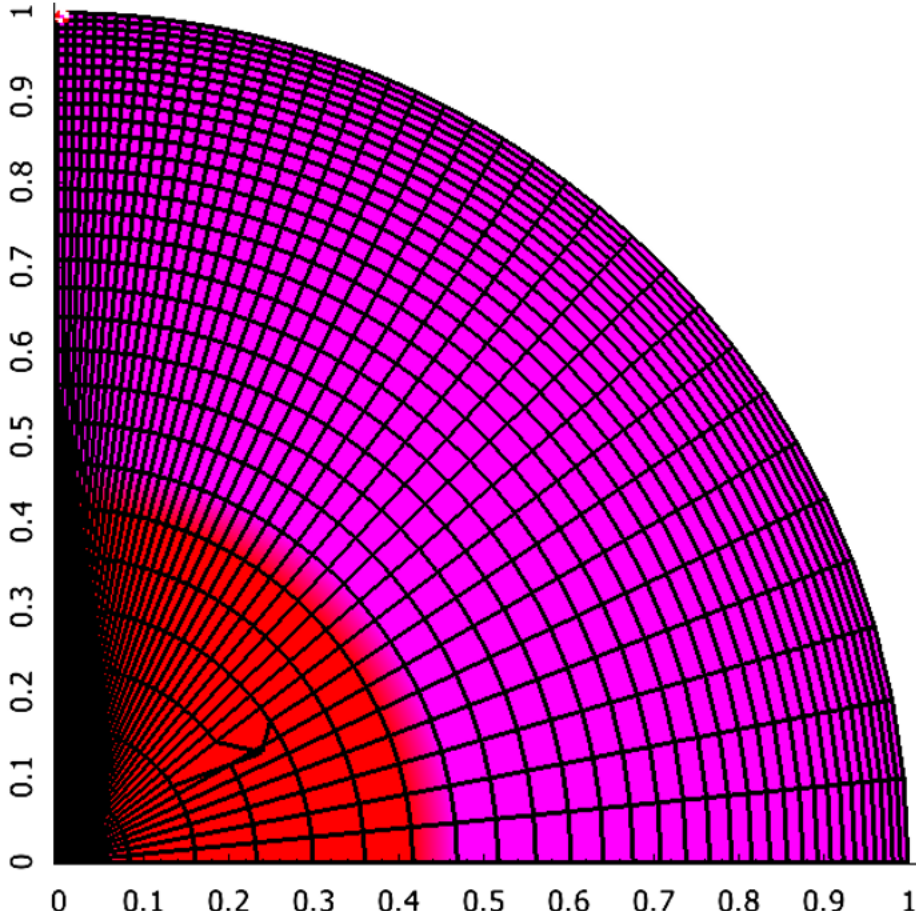
Если зеркальные ГУ, тогда:

- Симметризация «плохой» области
- Расширение области на  $2^k \%$ ,  $k = 1..7$  (на 7-ой итерации перстраивается вся сетка)



## Ц.2. Перестройка

- (При  $k=0$ ) Перестройка эвристикой дуг у сеточных областей
- Перестройка эвристикой зеркальных линий
- Построение внутренней части «плохих» областей алгебраическим методом [1, стр. 182]
- (если сетка «плохая»,  $k > 1$ ) Сглаживание эллиптическим методом [1, стр. 230]



Линии с зеркальным граничным условием сглаживаются с помощью 3 эвристических методов:

- **Слабое сглаживание.** Составляется система неравенств относительно требований на максимальный перепад соседних ребер (не более 1.2 раз), минимальную и максимальную длину ребра. Полученная система решается методом градиентного спуска с помощью минимизации следующего функционала:

$$0.5 \cdot (x - x_0)^2 + \frac{1}{\chi_{0,01}(b - Ax)} \rightarrow \min_x , \chi_\varepsilon(t) = \frac{t + \sqrt{\varepsilon^2 + t^2}}{2}$$

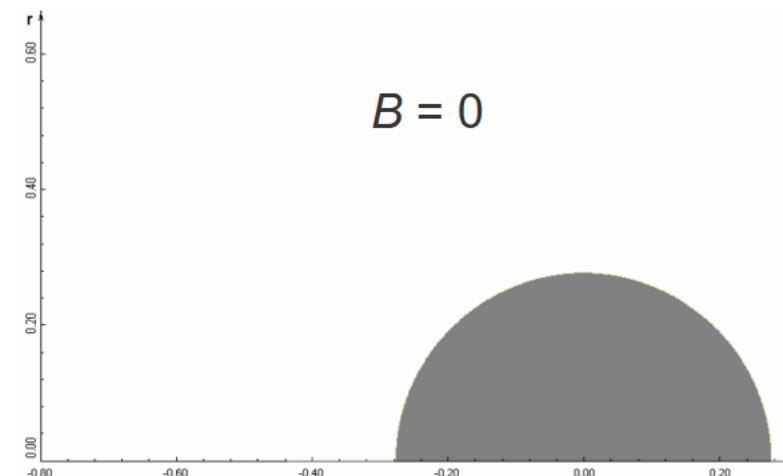
- **Сильное сглаживание** (при  $k > 6$ ). Производится сглаживание вторыми разностями пока не будут выполнены требования на максимальный перепад соседних ребер (не более 1.2 раз), минимальную и максимальную длину ребра.
- **Перераспределение длин.** Ограничивается длина «плохих» ребер (которые нарушают требование на минимальную и максимальную длину). Для этого избыточная/добавочная длина каждого «плохого» ребра поровну перераспределяется между «хорошими» ребрами слева и справа.

# Задача Вахрамеева [1]

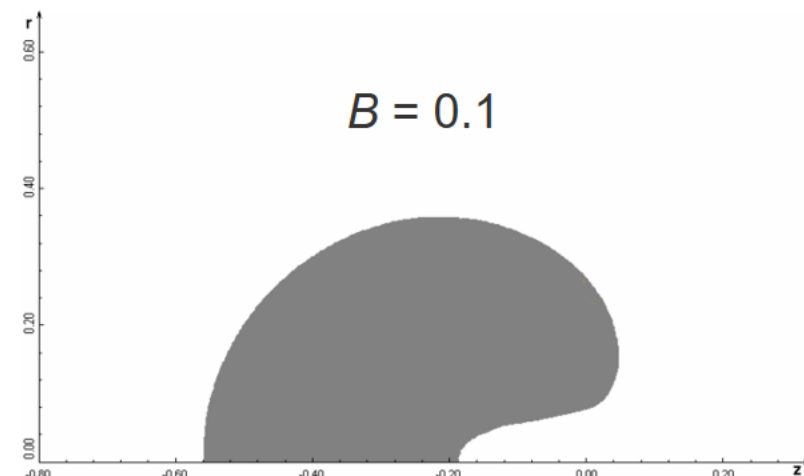
- Простейшая модель термоядерной мишени из легкого вещества (типа дейтерио-тритиевой смеси) с несимметричным сжатием тяжелой оболочкой
- В начальный момент газ поконится, в оболочке задана скорость  $U(r, \theta) = -(1 + B\cos\theta)$
- Конечный момент времени  $t = 3$

Вещество	Радиус	Плотность	УРС идеальный газ
Газ	0 – 2	0.1	$\gamma = \frac{5}{3}$ $C_V = 14.475$
Оболочка	2 – 2.1	20	$\gamma = 2$ $C_V = 14.475$

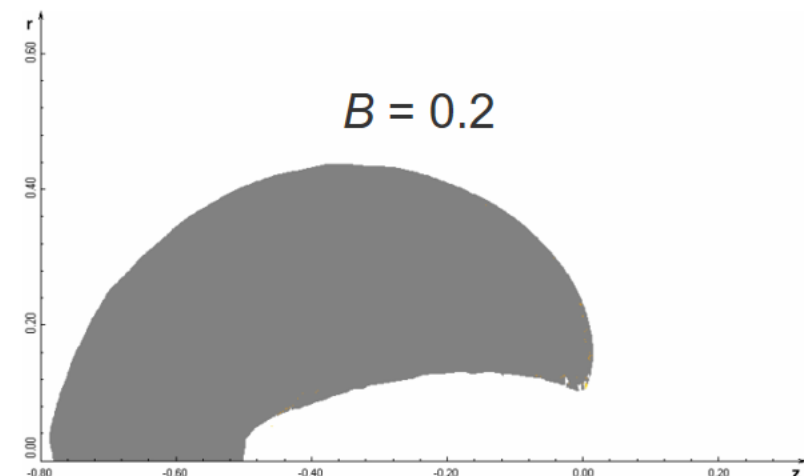
$$B = 0$$



$$B = 0.1$$



$$B = 0.2$$



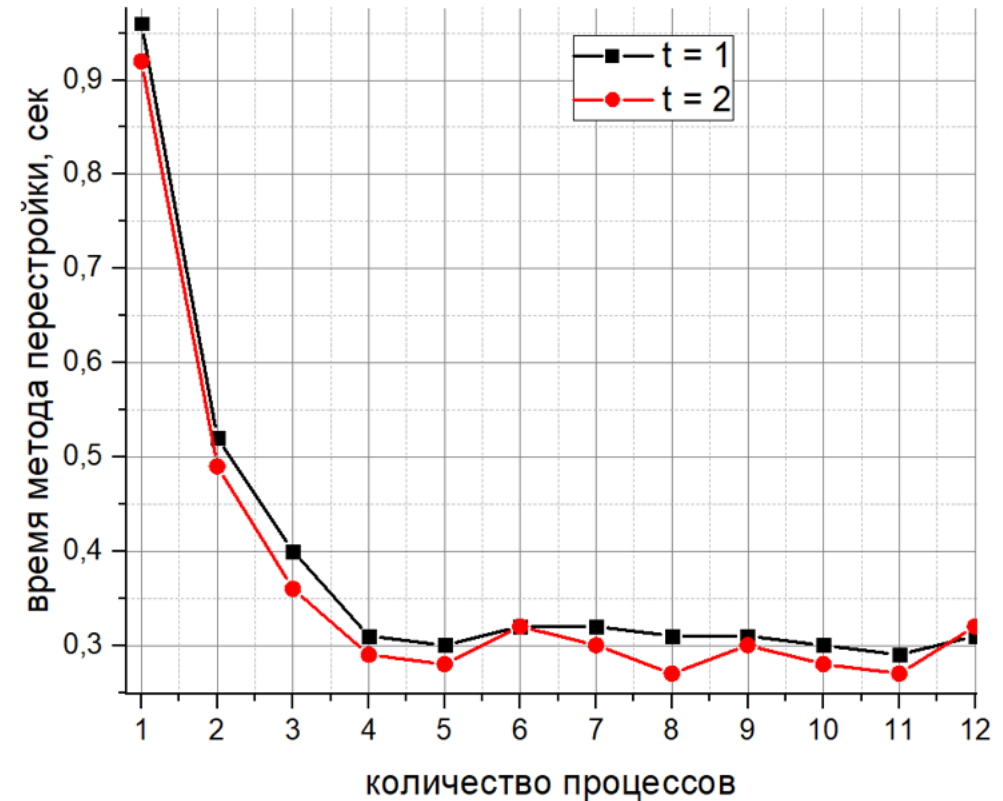
Форма газа на момент максимального сжатия ( $t = 2$ )

# Задача Вахрамеева, результаты

Расчеты производились с использованием Intel® Core™ i7-8700 3.20 GHz

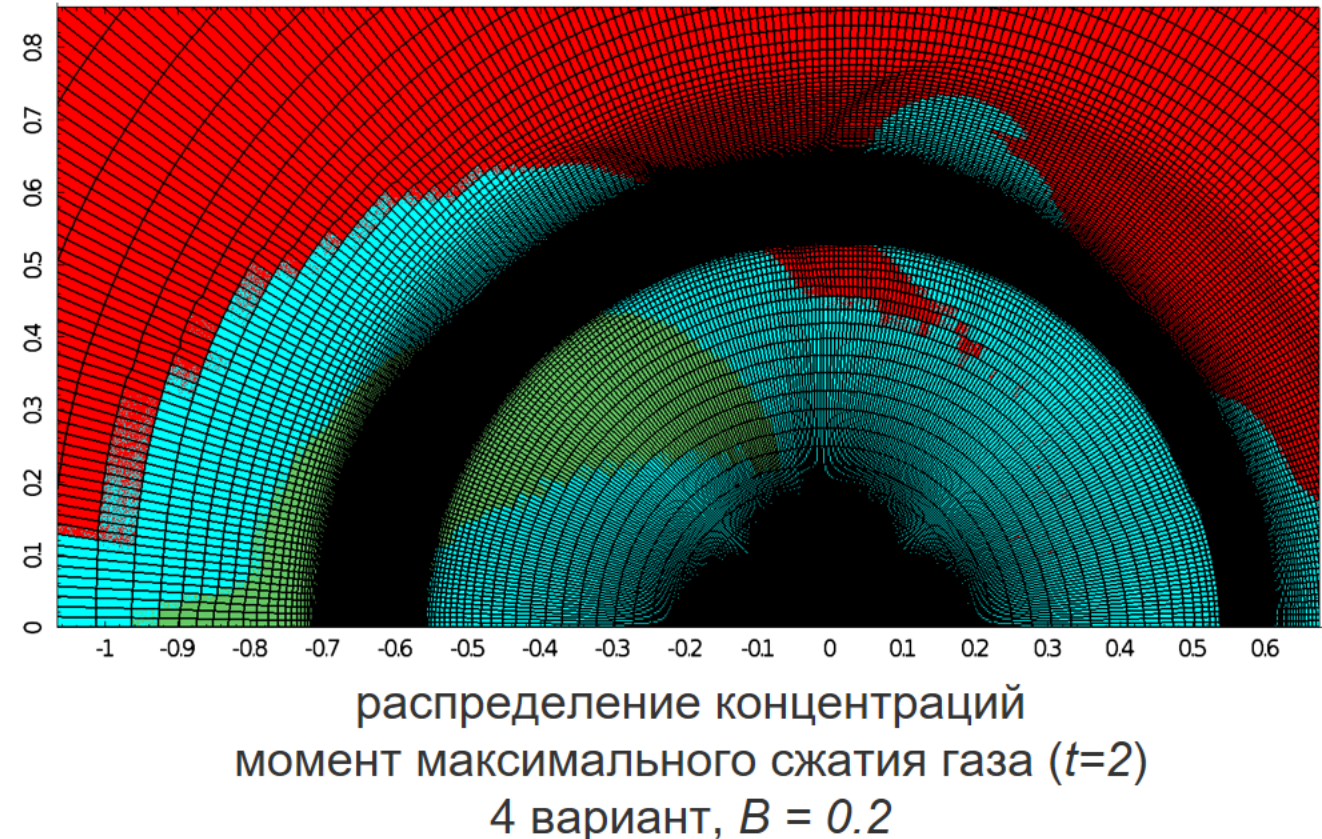
Вариант	1	2	3	4
Газ	1600	3600	7200	14400
Оболочка	4000	9000	16000	36000
Окружение	8960	20160	35040	67200
Всего ячеек	14560	32760	58240	117600
Результаты для $B=0.025$				
Временных шагов	4344	6522	11817	27232
Количество перестроек	86	323	3045	7154
Доля перестройки, %	4	2	2	6
Доля пересчета, %	13	28	56	88

Разовая перестройка, вариант 4,  $B=0.2$



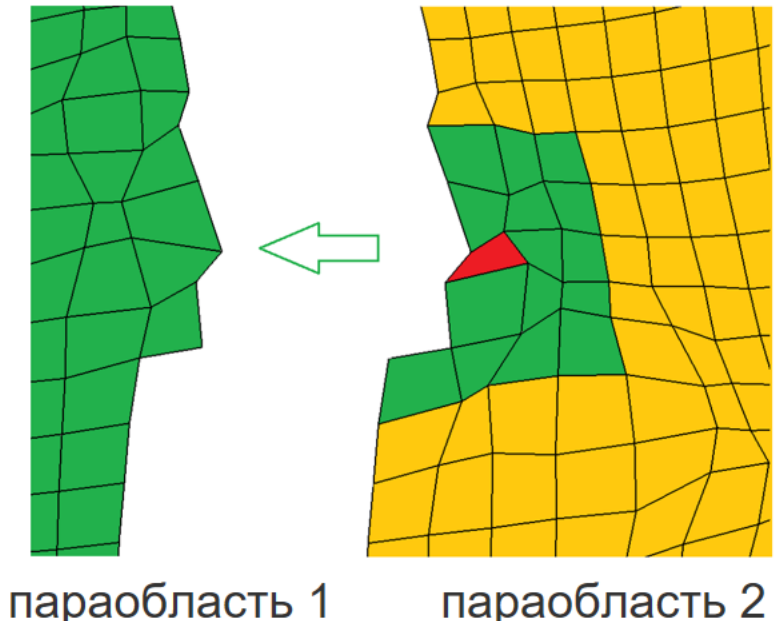
# Перестройка регулярных, каскадных сеток: недостатки

- Матричная нумерация строится каждую перестройку
- Если граница сеточной области сильно искажена (например, если сеточная область невыпукла), то в результате перестройки можно получить «плохую» сетку
- Отсутствие отслеживания положения границ веществ. Симметризация перестройки при несимметричном движении может «уводить» подробность сетки с границ раздела веществ
- Долгий пересчет из-за того, что положение параболей резко меняется, следовательно для пересчета необходимо выполнять процедуру наращивания параболы

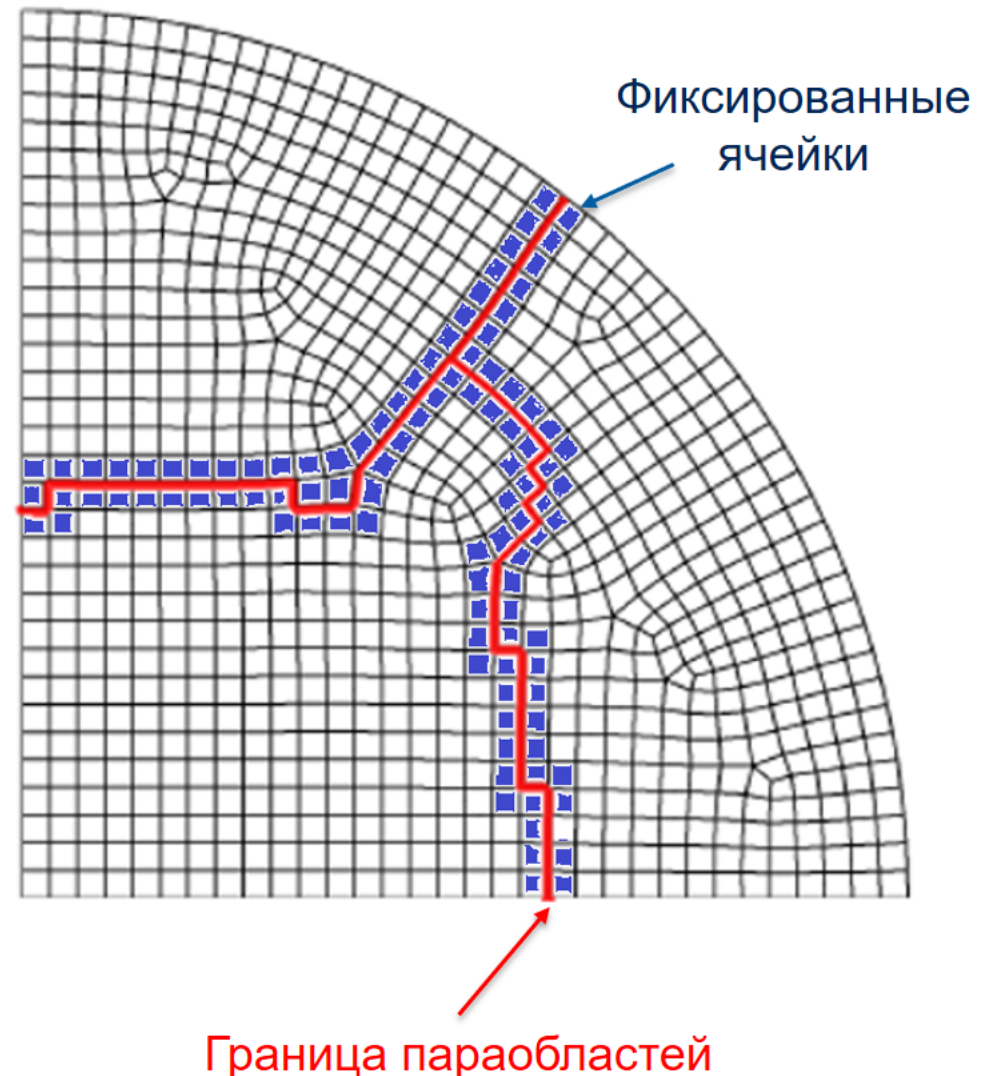


# Перестройка нерегулярной сетки: алгоритм

- Каждый MPI процесс параллельно фиксирует ячейки на границе параобласти и перестраивает части сеточных областей с нерегулярной сеткой средствами библиотеки APSU [1]
- Периодически производится переброска «плохих» ячеек между параобластями



[1] А. В. Сковпень. Реализация фронтального алгоритма построения нерегулярных четырехугольных сеток. ВАНТ. Серия «Математическое моделирование физических процессов», 2005, Вып. 1, с. 9-30



# Падение плоской ударной волны на тяжелый угол [1]

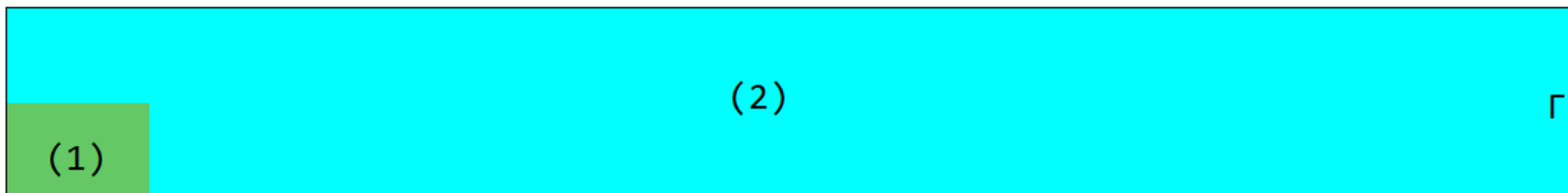


РФЯЦ-ВНИИТФ  
РОСАТОМ

- Задана область  $[0; 98.16] \times [0; 12]$
- На границе  $\Gamma$  задано постоянное давление 2.26, на остальных границах задано условие равенства нулю нормальной компоненты скорости
- Задача решается в декартовых координатах
- Конечный момент времени  $t = 3$

Вещество	Плотность	Давление	УРС идеальный газ
(1) Фреон	0.00513	1	$\gamma = 1.139 C_V = 7.1942446$
(2) Воздух	0.001205	1	$\gamma = 1.4 C_V = 2.5$

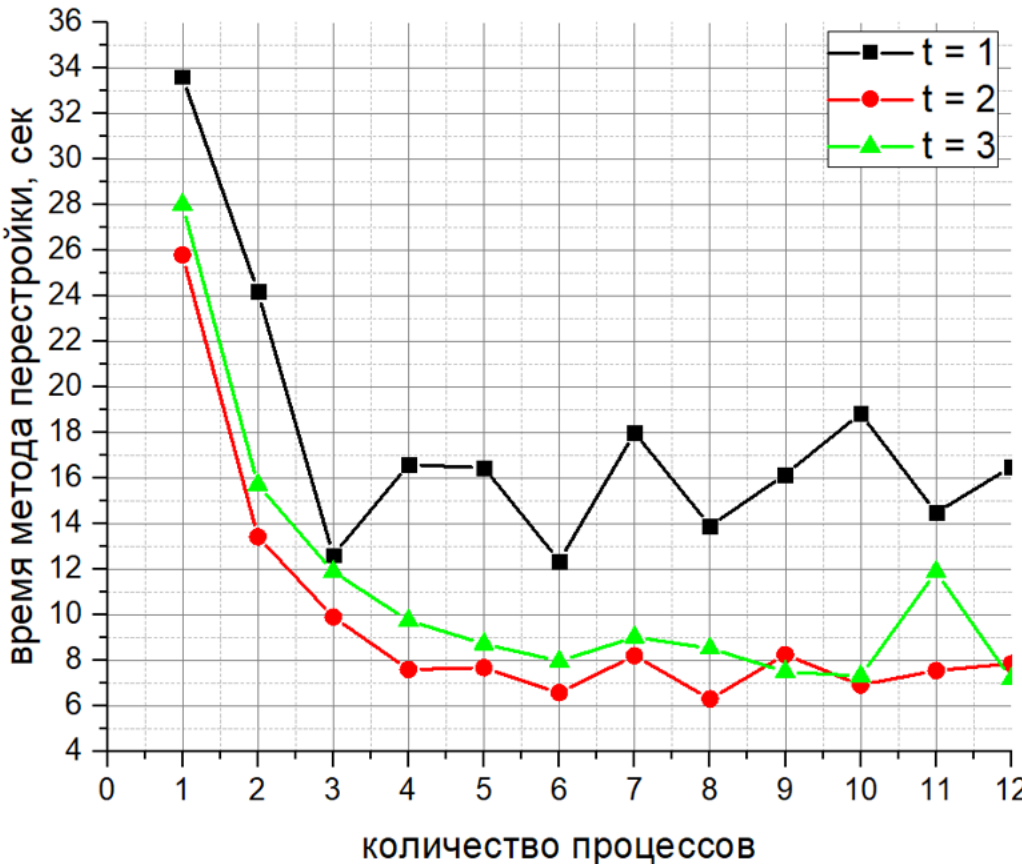
Распределение веществ в системе



# Падение плоской ударной волны на тяжелый угол: результаты

- Используется одна сеточная область
- Исходная сетка квадратная

Разовая перестройка, вариант 1



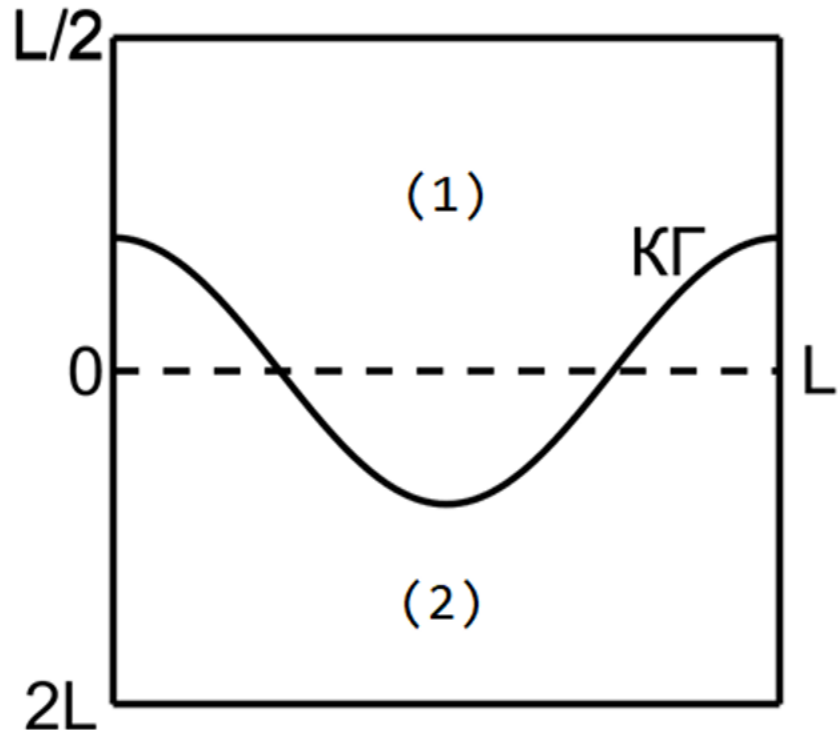
Вариант	1	2
Тяжелый угол	22 тыс	346 тыс
Окружение	450 тыс	7.2 млн
Всего ячеек	472 тыс	7.5 млн
Временных шагов	11532	46578
Количество перестроек	210	572
Доля перестройки, %	45	44
Доля пересчета, %	8	16

# Неустойчивость Рэлей-Тейлора: постановка

- Задана область  $[0; L] \times [-2L; L/2]$ ,  $L = 0.1$
- В начальный момент времени задано возмущение контактной границы (КГ)

$$y_{\text{кг}} = a_0 \cdot \cos\left(\frac{2\pi x}{L}\right), a_0 = 10^{-3}$$

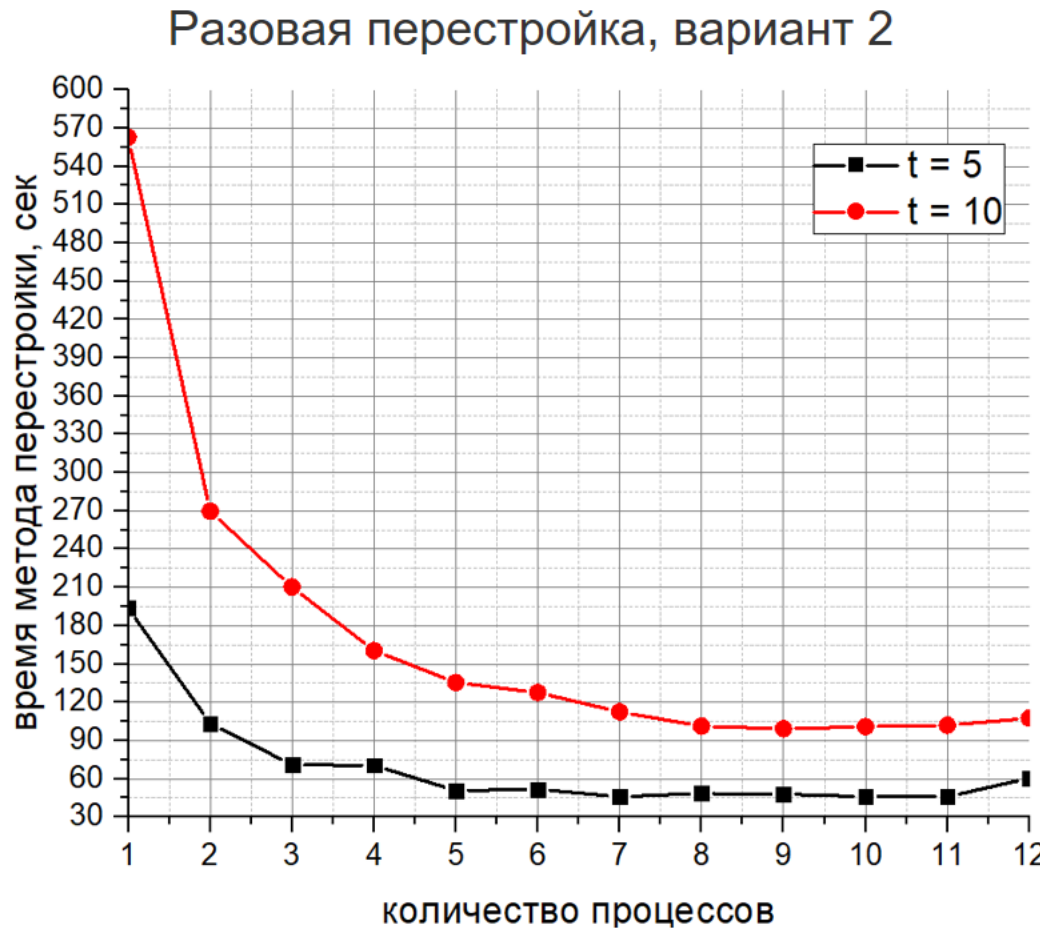
- Границные условия  $x = 0, x = L$  периодические,  $y = -2L, y = L/2$  жёсткие стенки со скольжением
- Задача решается в декартовых координатах
- Конечный момент времени  $t = 13$
- Параметры  $g = 0.02, \vec{g} = (0; -g), \varrho_1 = 3, \varrho_2 = 1$



Вещество	Давление	УРС идеальный газ
(1)	$2\pi(\varrho_1 + \varrho_2)gL - \varrho_1gy$	$\gamma = 5/3 \ C_V = 312.38$
(2)	$2\pi(\varrho_1 + \varrho_2)gL - \varrho_2gy$	

# Неустойчивость Рэлей-Тейлора: результаты

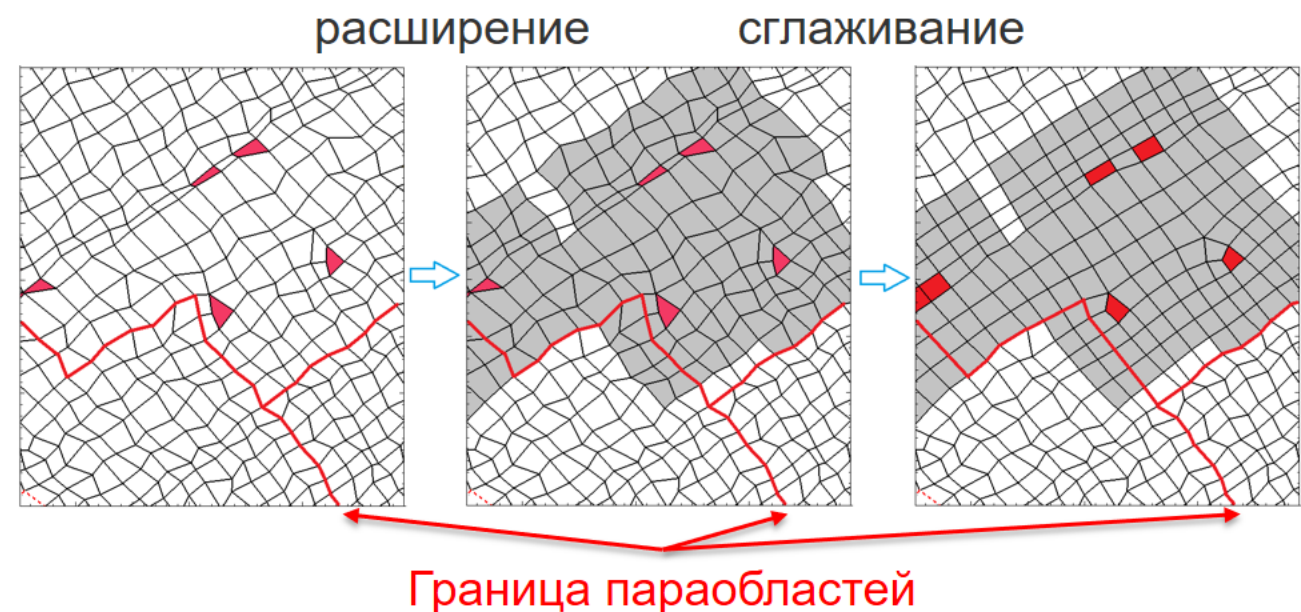
- Используется одна сеточная область
- Исходная сетка квадратная



Вариант	1	2
Ячеек	192 тыс	2.4 млн
Временных шагов	30687	232956
Количество перестроек	322	1331
Доля перестройки, %	33	16
Доля пересчета, %	4	4

# Перестройка всей сетки: алгоритм

- 1) Параллельно каждый MPI процесс ищет множества “плохих” ячеек
- 2) Параллельное расширение данного множества
- 3) Параллельно каждый MPI процесс сглаживает “плохие” узлы



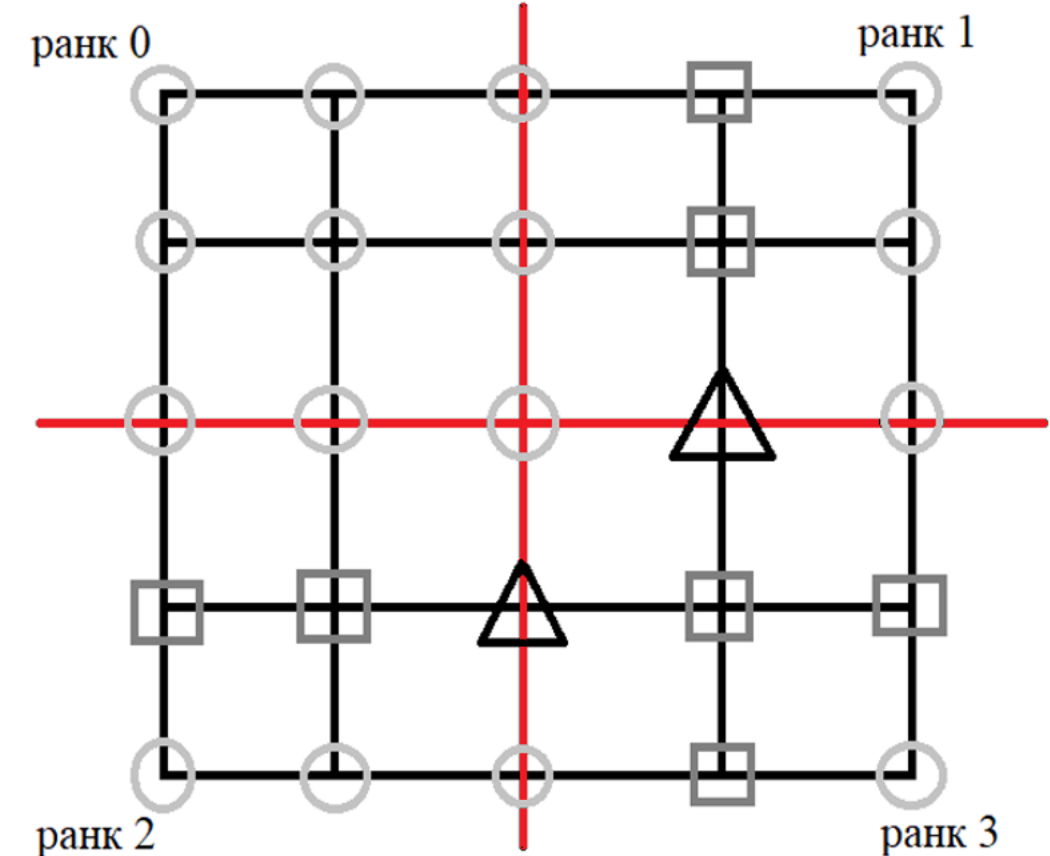
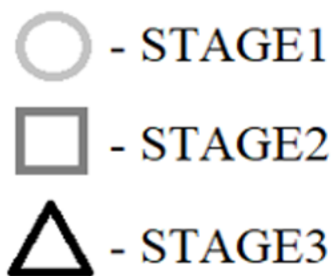
## Замечания:

- Основан на реализации метода сглаживания в библиотеке APSU с нововведениями:
  - Добавлено распаралеливание на распределенной памяти средствами MPI
  - Добавлено сглаживание узлов между коллинеарными граничными ребрами с зеркальным ГУ
  - Обработка невыпуклых, вывернутых ячеек после сглаживания
- Реализован совместный режим использования с другими методами перестройки

# Перестройка всей сетки: алгоритм

Для параллельного сглаживания узлов сглаживание происходит в 3 этапа: сглаживаются узлы  $i$ -ого этапа, затем идет обмен виртуальными ячейками, переход к следующему этапу

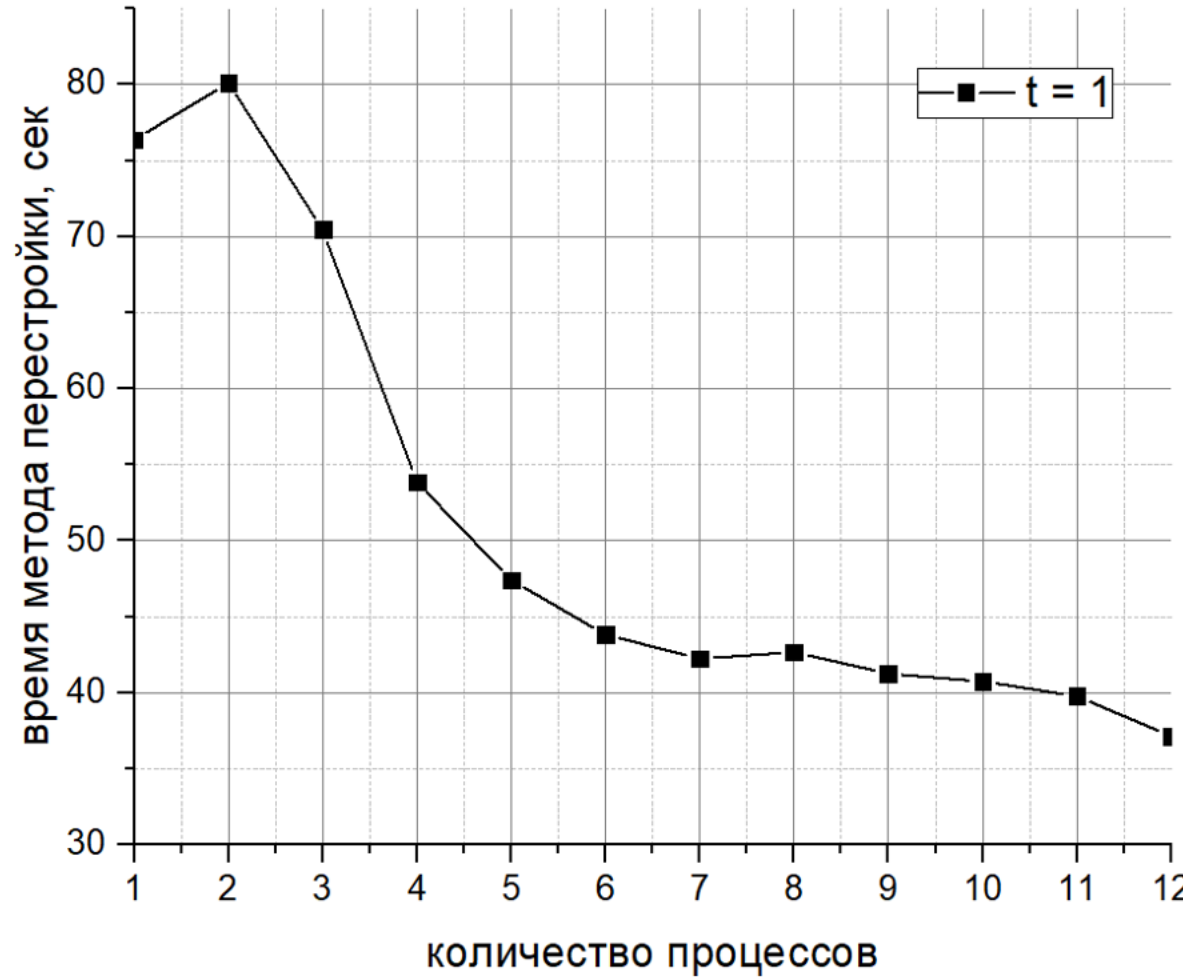
- STAGE1 – ставится внутренним узлам, узлам с границы параобластей на стороне минимального ранка
  - STAGE2 – ставится внутренним узлам, которые делят ячейку с узлами с границы параобластей не минимального ранка
  - STAGE3 – ставится узлам на границе параобласти, которые делят ячейку с узлами границы параобластей не минимального ранка



## Расстановки флагов

# Падение плоской ударной волны на тяжелый угол: результаты

Разовая перестройка, вариант 1, 472 тыс ячеек

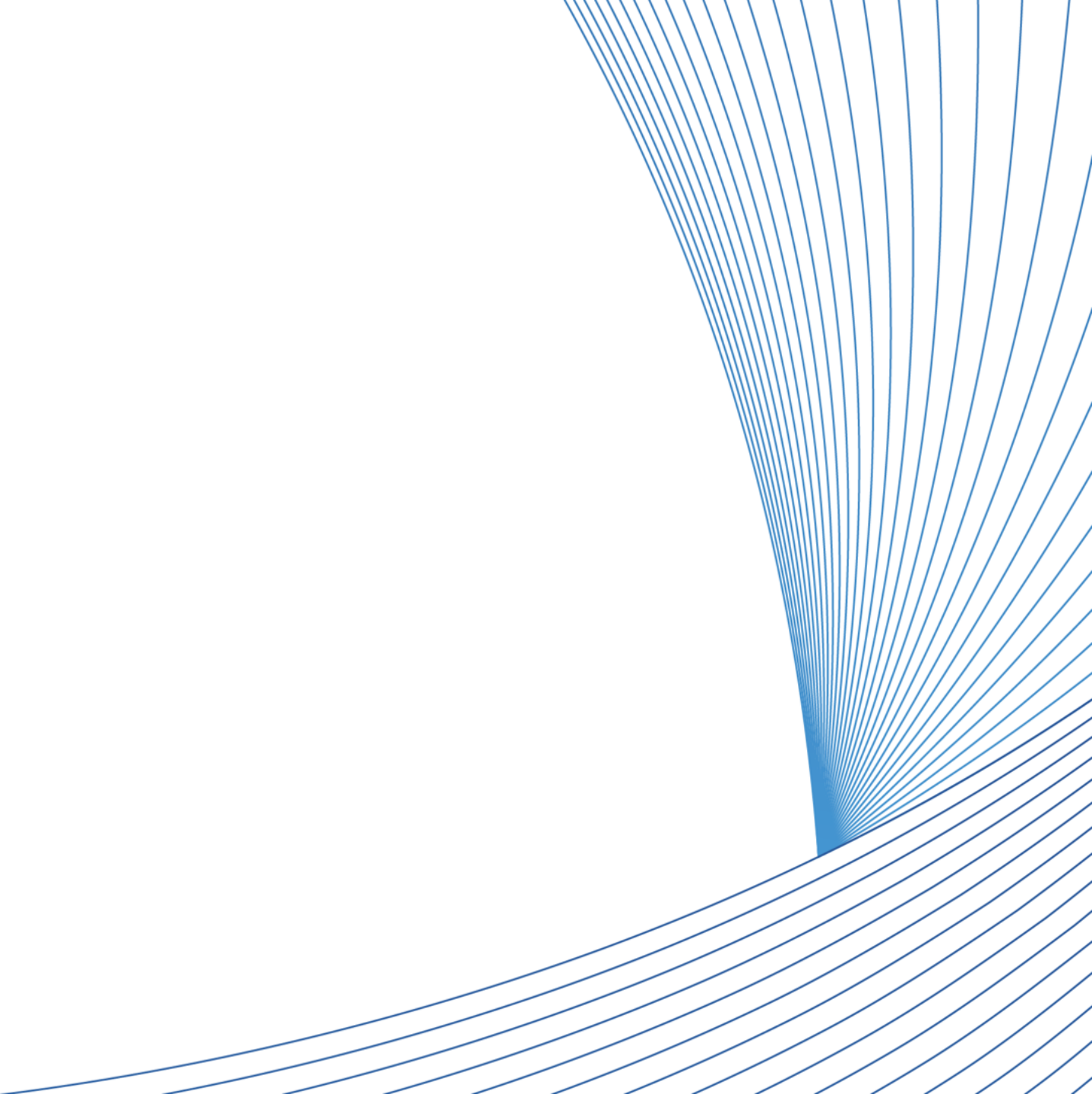


# Вывод

- Реализованы параллельные методы перестройки для регулярных, каскадных и нерегулярных сеток
- Эффективность распараллеливания методов перестройки на Intel® Core™ i7-8700 3.20 GHz составила для 4 ядер 65 %, для 12 ядер 23 %
- Доля выполнения методов перестроек относительно времени счета составила 19 %, пересчета 27 %
- Реализованные методы имеют недостатки, которые желательно устранить

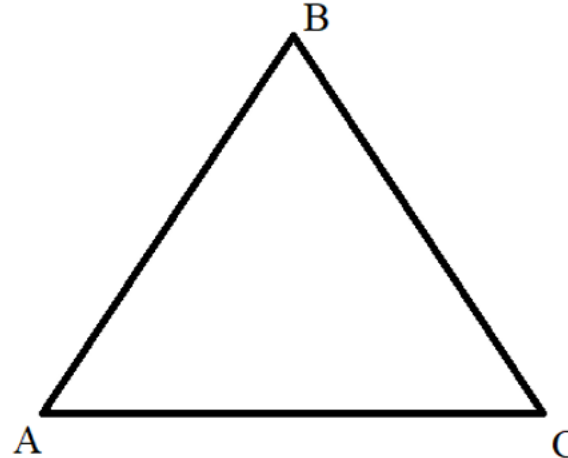
# Спасибо за внимание

Анисов Вадим Олегович, Вазиев Э. М.  
[e.m.vaziev@vniitf.ru](mailto:e.m.vaziev@vniitf.ru)

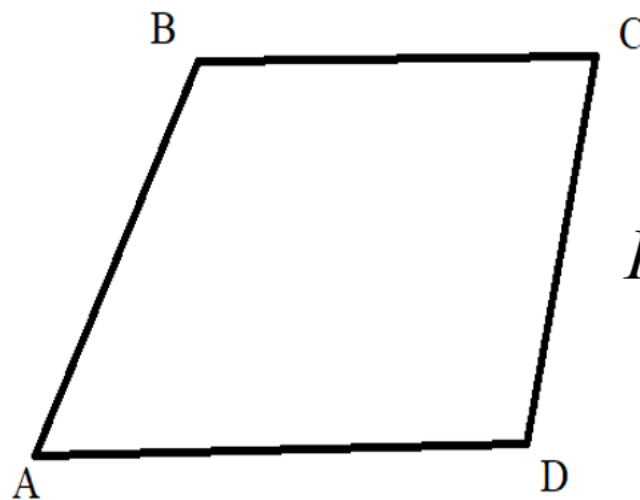


# Основные метрики качества сетки в APSU

- Метрика Lo Cannan



$$LoCannan(ABC) = 2\sqrt{3} \left( \frac{\mathbf{AC} \times \mathbf{AB}}{\|\mathbf{AB}\|^2 + \|\mathbf{BC}\|^2 + \|\mathbf{CA}\|^2} \right)$$



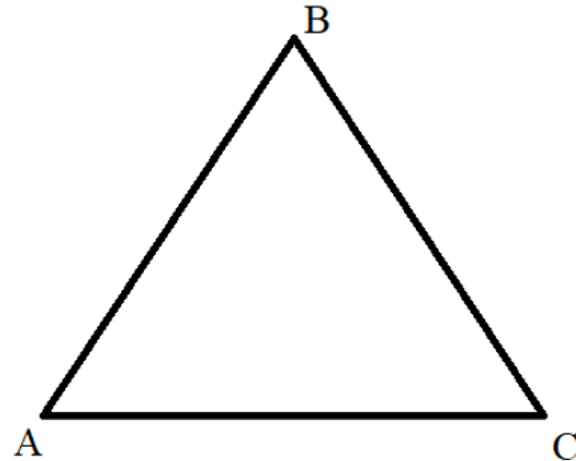
$$LoCannan(ABCD) = \min(\alpha_1, \alpha_2, \alpha_3, \alpha_4) - \eta$$

## Основные метрики качества сетки в APSU (2)

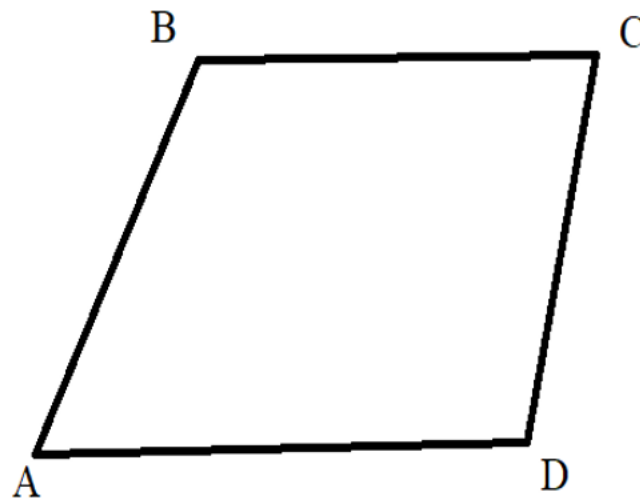


РФЯЦ-ВНИИТФ  
РОСАТОМ

- Проверка выпуклости



$$\text{Convex}(ABC) = \begin{cases} 2 & AC \times AB > 0 \\ 0 & \text{иначе} \end{cases}$$



$$b_{AB} = (AD \times AB > 0 \text{ and } BA \times BC > 0),$$

$$b_{CD} = (CB \times CD > 0 \text{ and } DC \times DA > 0),$$

$$\text{Convex}(ABCD) = \begin{cases} 2 & b_{AC} = b_{CD} = \text{true} \\ 1 & b_{AC} = \text{true or } b_{CD} = \text{true.} \\ 0 & \text{иначе} \end{cases}$$